新潟焼山の火山活動(2016年5月~2016年9月20日)*

Volcanic Activity of Niigata-Yakeyama Volcano (May 2016– September 20, 2016)

気象庁地震火山部火山課 火山監視・警報センター

Volcanology Division, Japan Meteorological Agency Volcanic Observation and Warning Center

〇 概況

1. 噴気など表面現象の状況 (第1~5図、第6図-①、第7図、第8図)

5月6日に新潟県警察の協力により実施した上空からの観測で、山頂東側斜面の噴気孔周辺に南 北約400m、東西約200mにわたり、ごく小規模な噴火に伴うものとみられる降灰を確認した。また、 妙高火山研究所によると、7月19日に東斜面で噴気孔から流れ出たと考えられる泥水が確認され、 7月21日には山頂から南南東およそ1.5km付近で微量の火山灰が見つかった。

新潟県土木部砂防課が焼山温泉(山頂の北北西約8km)に設置している監視カメラと、気象庁が宇棚(山頂の南南東約7km)に設置した遠望カメラ(2016年7月8日運用開始)による観測では、2015年夏頃からみられる、山頂部東側斜面の噴煙がやや高く上がる傾向は継続しており、高い時で火口縁上1,200m程度まで上がっている。また、2015年12月下旬からの噴煙量の多い状態も継続している。

2. 地震活動 (第6図-②、第9~11図)

5月1日以降、振幅の小さな火山性地震がやや増加し、5月4日以降は低周波地震も時々発生したが、その後、火山性地震は次第に減少し、少ない状態で経過している。ただし、2015年以降の地震回数は、2014年以前と比べてやや多い状態が続いている。

火山性微動は発生していない。

3. 地殼変動 (第6図-3~6、第12~15図)

山頂の北約 4 km に設置しているカラサワ観測点の傾斜計では、5 月 1 日からの火山性地震の増加に先行して、4 月 30 日頃から 5 月 1 日頃にかけて、山頂方向上がり(南上がり)の変化がみられた。

GNSS による地殻変動観測では、2016年1月頃から新潟焼山を南北に挟む基線で伸びがみられている。

この資料は気象庁のほか、国土地理院、東京大学、京都大学、国立研究開発法人防災科学技術研究所及び新潟県のデータ も利用して作成した。



第1図 新潟焼山 山頂付近の降灰の状況 (2016年5月6日撮影)

Fig. 1 Ash fall deposit on and around summit crater of Niigata-Yakeyama.

・5月6日に新潟県警察の協力により実施した上空からの観測で、山頂東側の噴気孔周辺の南北約400m、東西約200mにわたり、降灰と考えられる噴出物が認められた。



第2図 新潟焼山 降灰の分布状況

Fig. 2 Distribution of ash fall deposit showing in Fig. 1.

・灰色で網掛けした部分は、第1図から読み取った降灰の範囲を示す。

この図の作成には、国土地理院発行の2万5千分の1地形図を使用した。



2016年7月19日撮影 (妙高火山研究所提供)



2016年7月12日撮影 (火打山より)



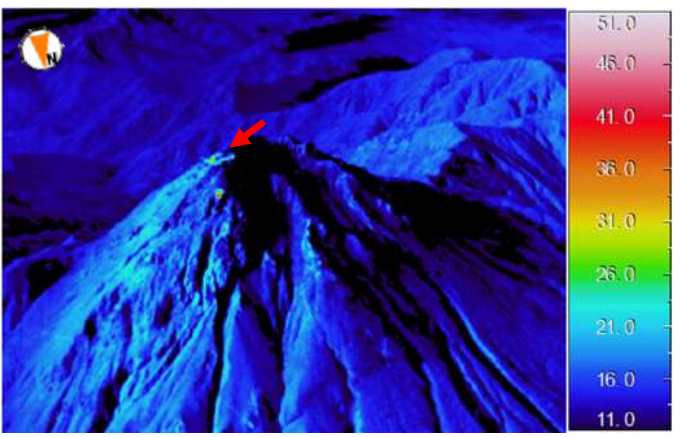
2013年10月7日撮影 (新潟県消防防災航空隊 の協力による)

第3図 新潟焼山 山頂付近の状況

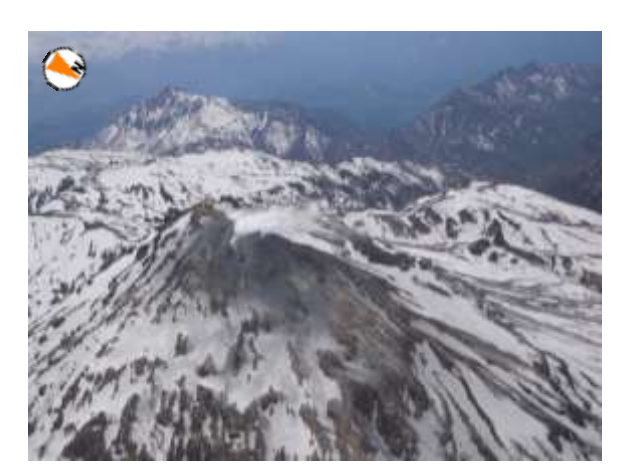
Fig. 3 Visible photographs on and around summit crater of Niigata-Yakeyama on October 2013 and July 2016.

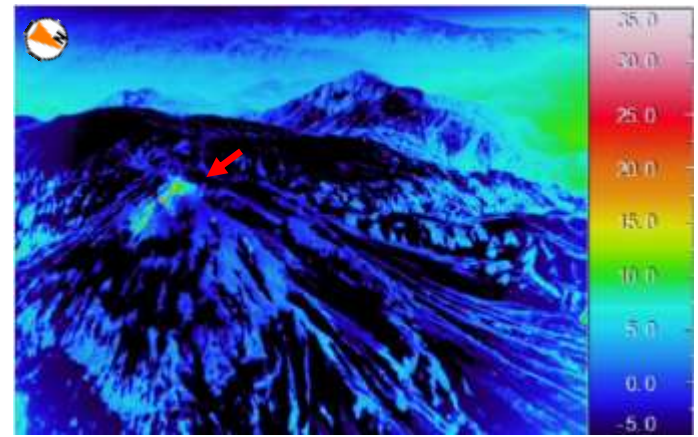
- ・2016年7月12日に実施した現地調査では、山頂部の噴気孔付近から泥水が流れ出したとみられる跡(流下した水平距離約400m、標高差約300m)が東斜面に認められた(中図の赤矢印)。
- ・2016年7月19日に撮影された写真(妙高火山研究所提供)では、7月12日の観測の際には認められなかった泥水の流下がみられる(上図の赤矢印)。
- ・2013年10月7日に新潟県消防防災航空隊の協力により実施した上空からの観測の際には、そのような跡はみられない(下図の赤点線矢印)。





2016年8月10日撮影 (新潟県消防防災航空隊の協力による)





2016年5月6日撮影 (新潟県警察の協力による)

第4図 新潟焼山 山頂付近の状況と地熱域の分布(左:可視画像 右:熱赤外画像) Fig. 4 Visible photographs and thermography images on and around summit crater of Niigata-Yakeyama. ・2016 年8月10日の観測では、前回(5月6日)と同様に、山頂周辺の地熱域(赤矢印)を確認した。

焼山温泉監視カメラ (新潟県土木部砂防課提供)



2016年9月12日08時40分



2016年8月12日10時29分



2016年7月19日06時59分



2016年6月3日11時00分

宇棚カメラ (2016年7月8日運用開始)



2016年9月12日07時49分



2016年8月3日18時49分

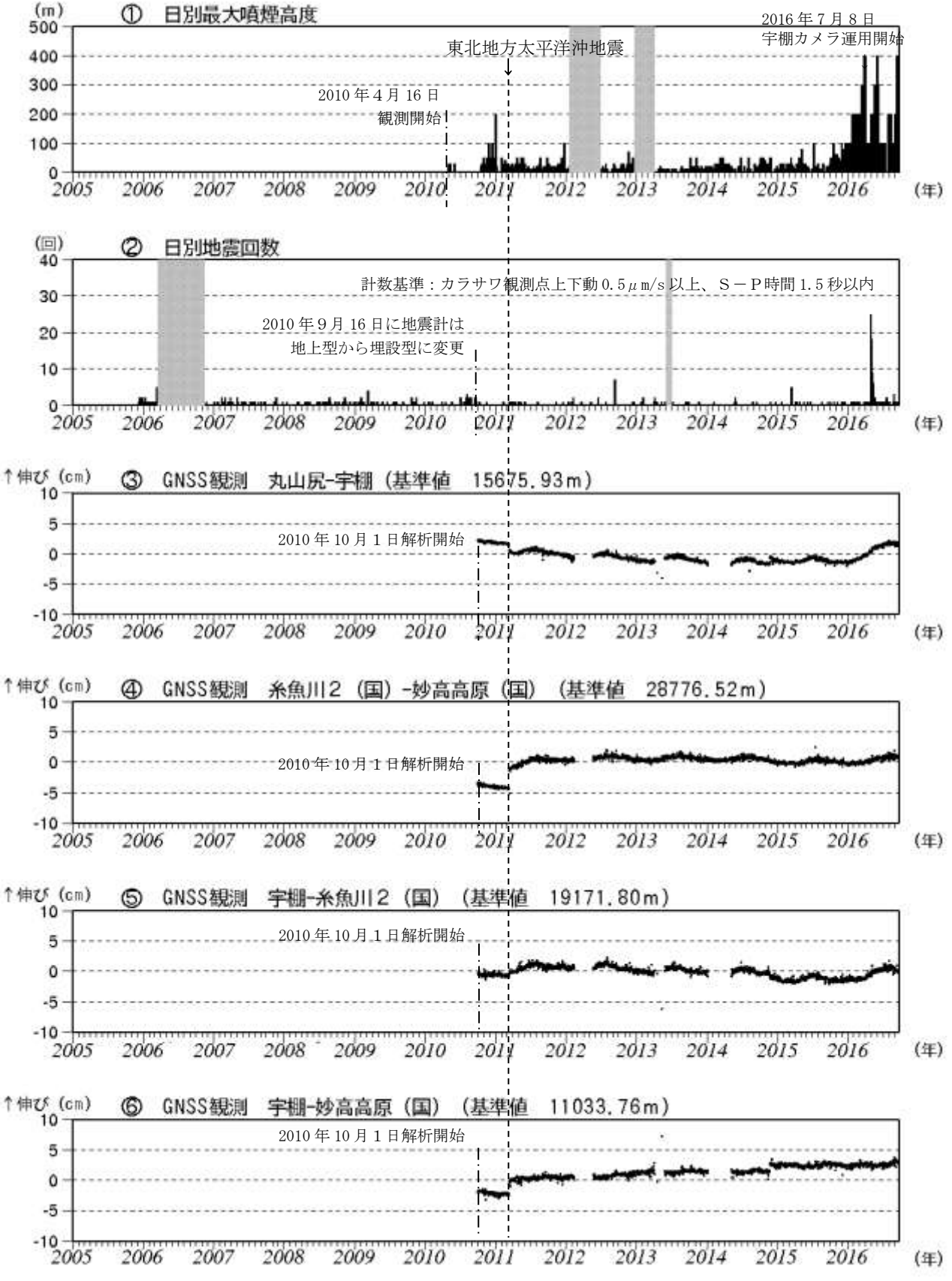


2016年7月21日00時01分

第5図 新潟焼山 遠望カメラによる噴煙の 状況 (2016年6月~9月)

Fig. 5 Visible photographs of Niigata-yakeyama from June to September 2016.

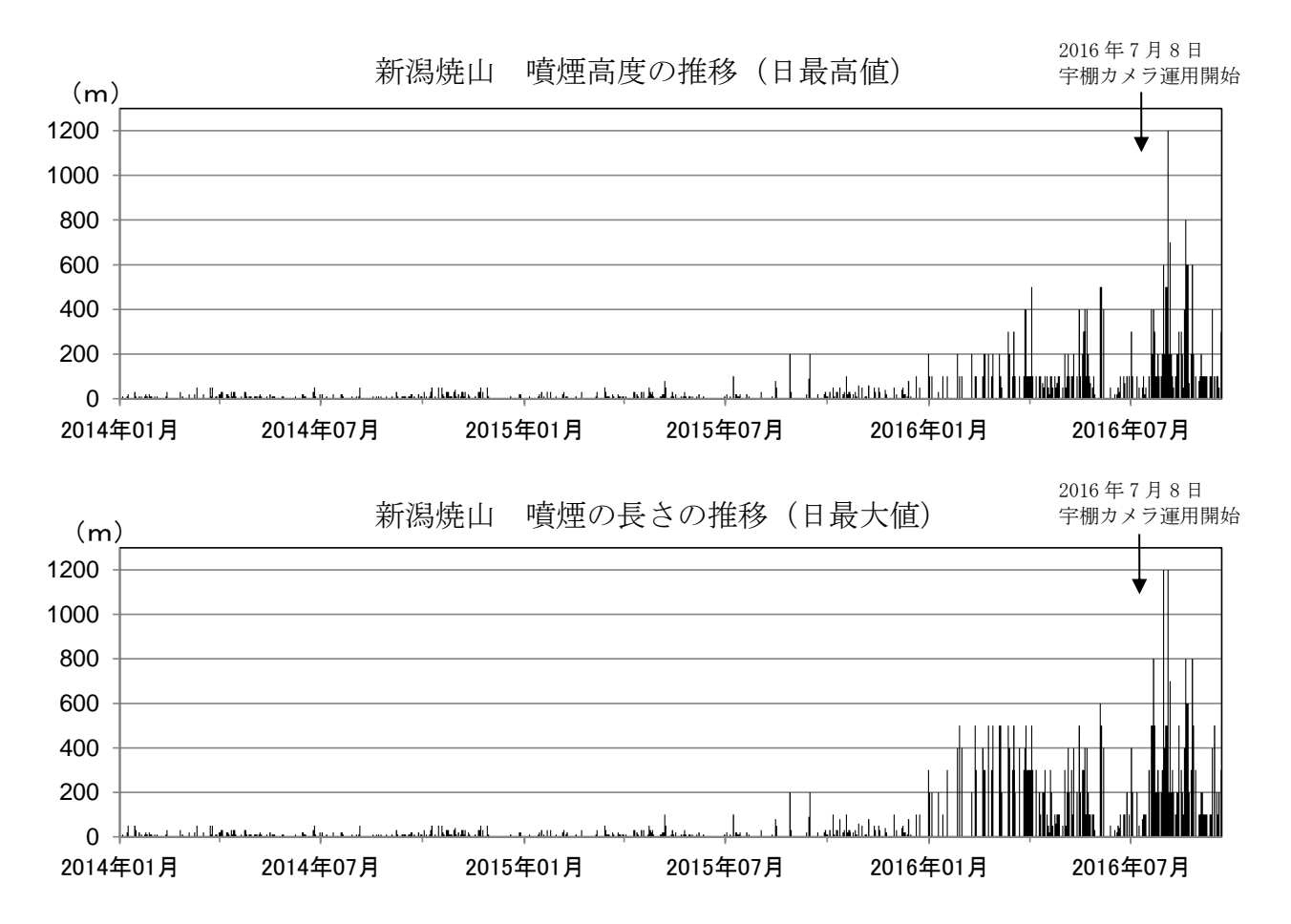
- ・昨年(2015年)夏頃からの噴煙がやや高く上がる傾向は現在も継続している。2016年8月3日にはこれまでの最大高度となる1,200mの噴煙が観測された。
- ・宇棚カメラ(2016年7月8日運用開始)の位置は 第15図(観測点配置図)を参照。



第6図 新潟焼山 最近の火山活動経過図 (2005年12月1日~2016年9月20日)

Fig. 6 Volcanic activities of Niigata-yakeyama from December 1, 2005 to September 20, 2016.

- ① 定時観測(09時・15時)による日別最大噴煙高度(2010年4月16日~2016年9月20日)
- ② 日別地震回数(2005年12月1日~2016年9月20日)
- ③~⑥ GNSS 連続観測結果 (2010 年 10 月 1 日~2016 年 9 月 20 日) (国): 国土地理院
 - ③~⑥は第15図(観測点配置図)の③~⑥に対応している。
 - 解析に際しては対流圏補正と電離層補正を行っている。
 - ・基線③(丸山尻ー宇棚)で2016年1月頃から伸びがみられている。
 - ・2011年3月11日に発生した東北地方太平洋沖地震の影響により、データに飛びがみられる。
- ①、②のグラフの灰色部分は機器調整による欠測を示す。
- ③~⑥のグラフの空白部分は欠測を示す。

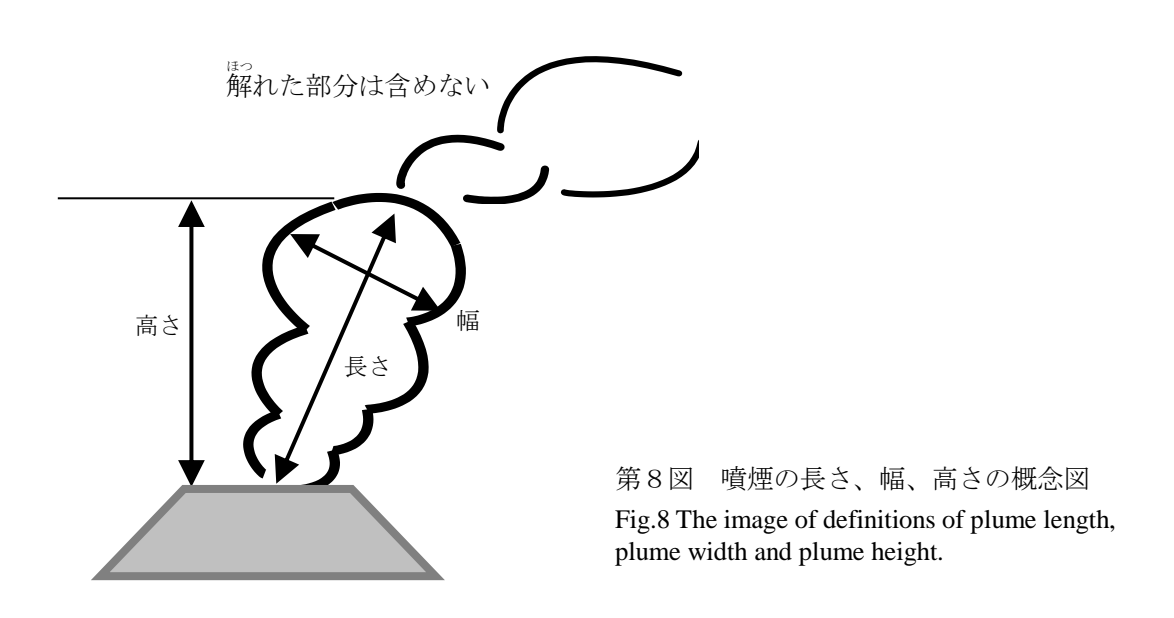


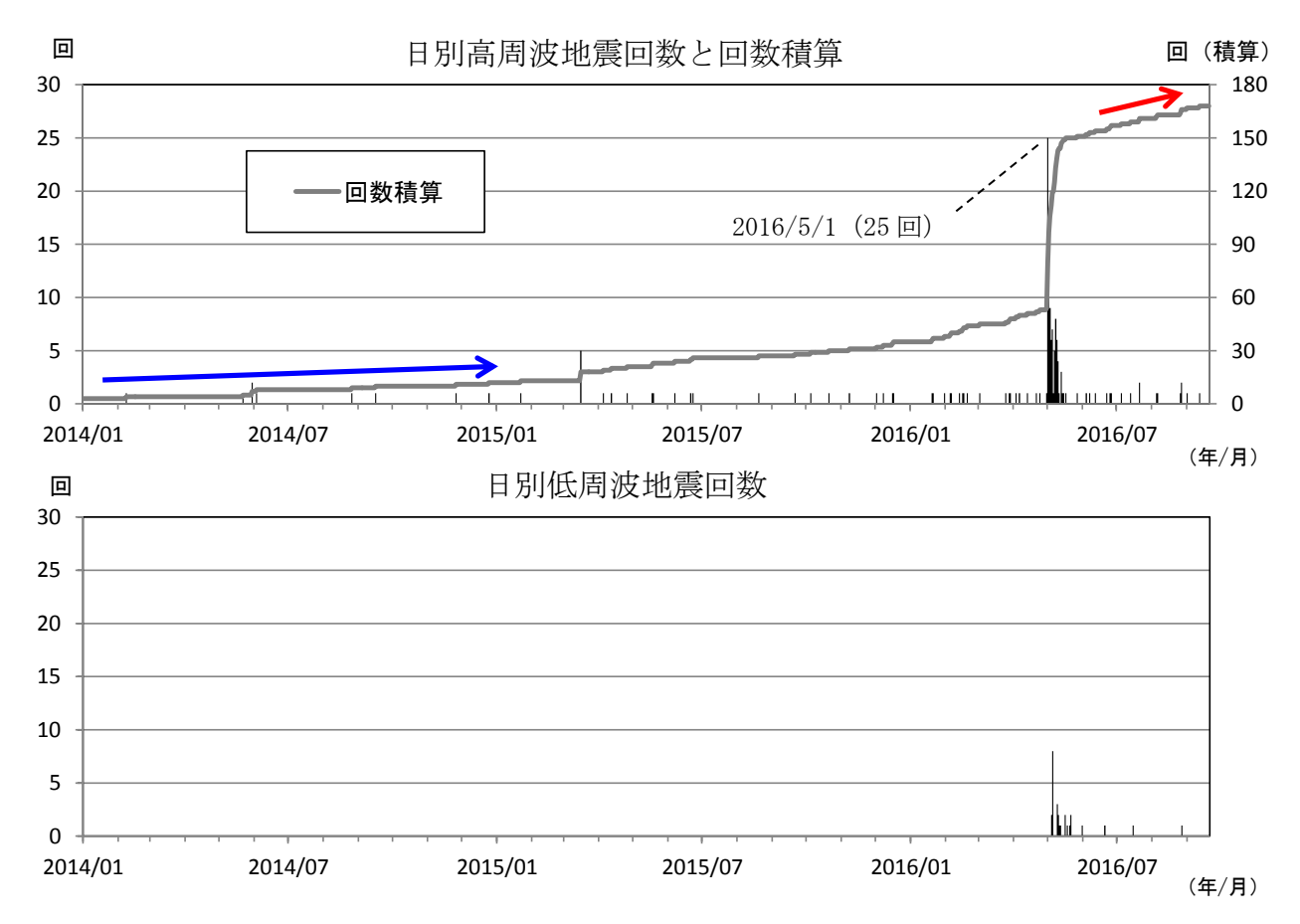
第7図 新潟焼山 噴煙高度と噴煙の長さの推移

(それぞれ日最高値及び日最大値、2014年1月1日~2016年9月20日)

Fig. 7 Plume height and length of Niigata-yakeyama from January 1, 2014 to September 20, 2016.

- ・山頂部東側斜面の噴気孔からの噴煙は、2015年夏頃からやや高く上がる傾向が認められ、2016年1月以降は日によって大きく変動しているものの、時折高く上がることがある。・噴煙高度は強い風の影響を受ける場合があるため、風の影響を受けにくい噴煙の長さ(第8図参照)のグラフも示している。2015年12月下旬から増加傾向がみられる。
- ・2016年7月8日に宇棚カメラ (山頂の南南東約7km、第13図参照) の運用を開始した。それ以前は噴煙がフレームアウトしている例がある (2016年3月28日、噴煙高度>400m、噴煙の長さ>500m)。

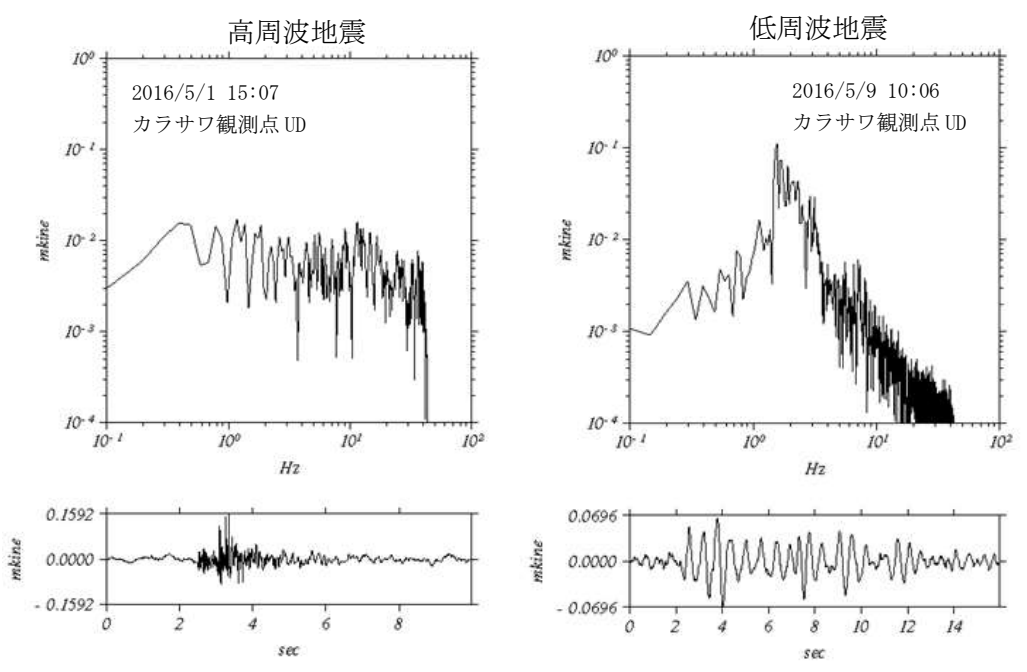




第9図 新潟焼山 日別地震回数 (2014年1月1日~2016年9月20日)

Fig. 9 Daily numbers of volcanic earthquakes at Niigata-yakeyama from January 1, 2014 to September 20, 2016.

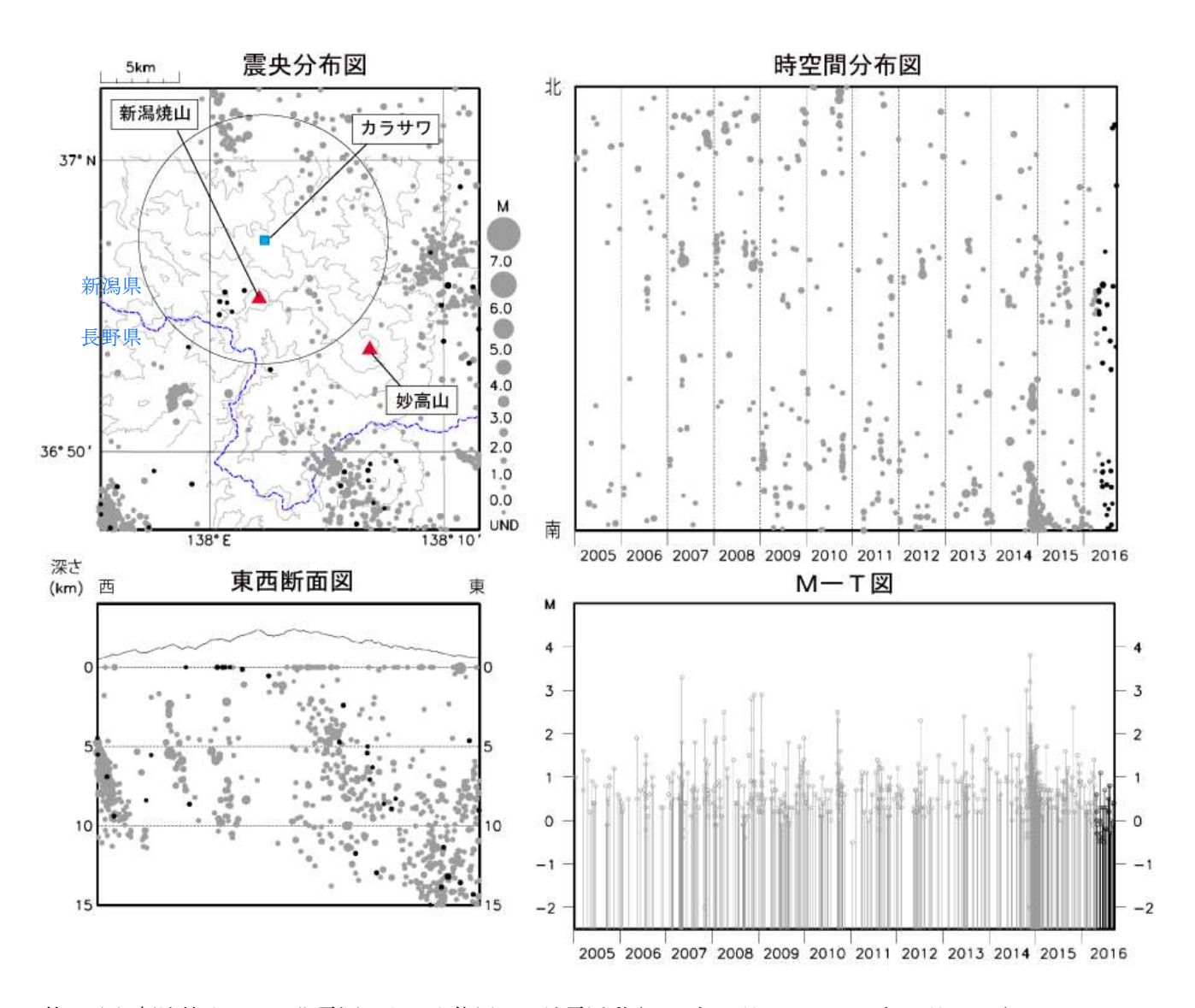
・2016年5月1日以降、振幅の小さな火山性地震がやや増加し、5月4日以降は低周波地震も時々発生した。 その後、火山性地震は次第に減少しているが、2014年以前と比べてやや多い状態が続いている。



第10図 新潟焼山 高周波地震と低周波地震の波形例とスペクトル

Fig. 10 Tipical spectrums and waveforms of high- and low- frequency earthquakes at Niigata-yakeyama. 左:高周波地震の波形例とスペクトル 右:低周波地震の波形例とスペクトル

・低周波地震のスペクトルは1~2Hz付近にピークを持つ。

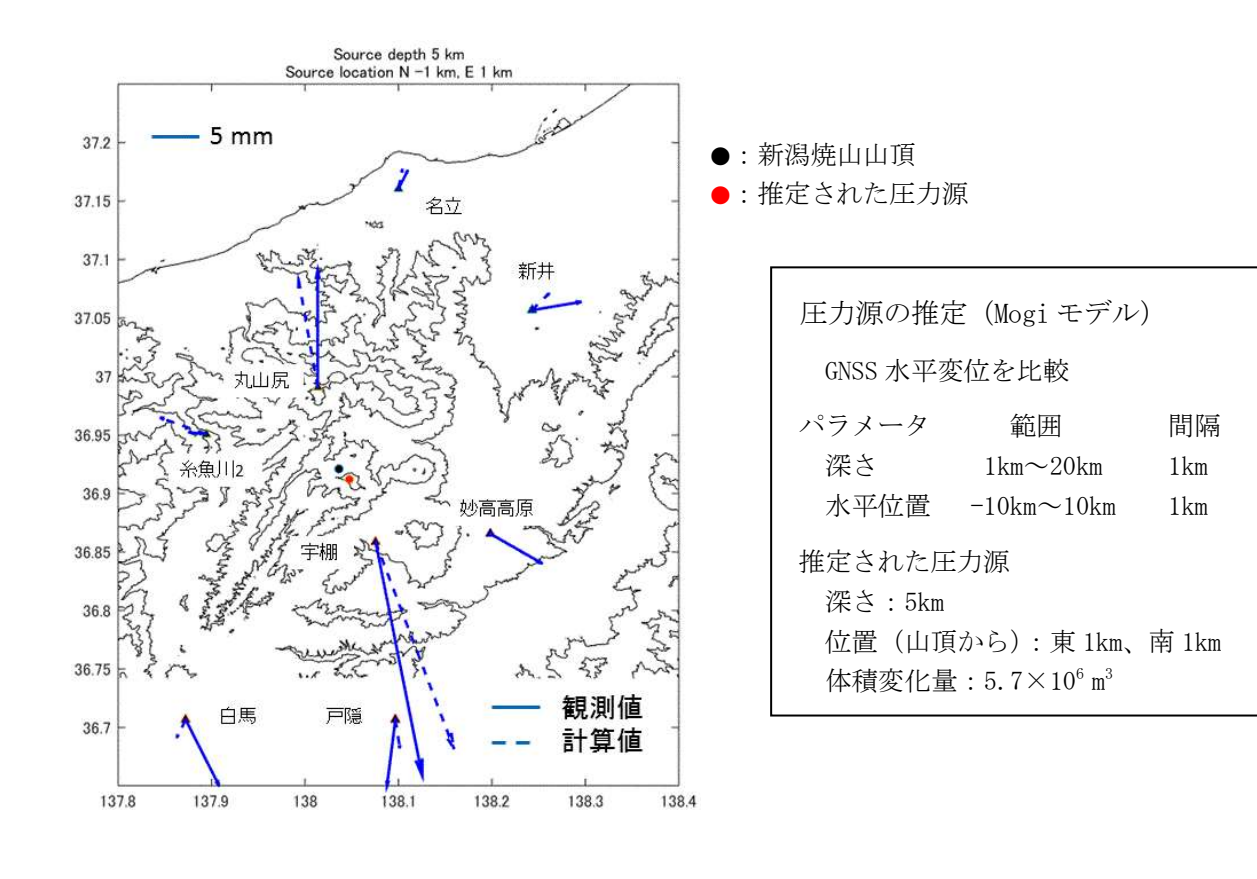


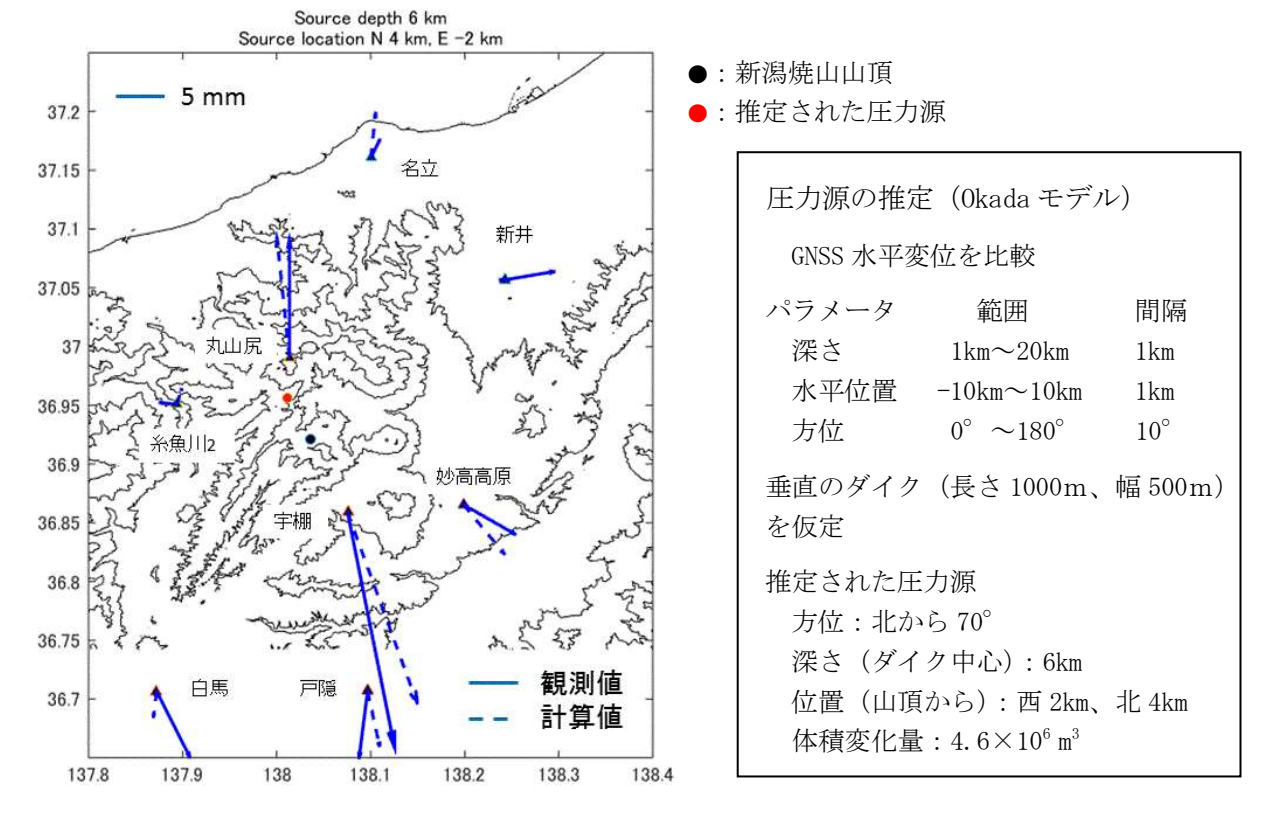
第11 図 新潟焼山 一元化震源による山体周辺の地震活動(2005年1月1日~2016年9月20日) Fig. 11 Hypocenter distribution of earthquakes at Niigata-yakeyama from January 1, 2005 to September 20, 2016.

- ●:2005年1月1日~2016年4月30日 ●:2016年5月1日~9月20日

- ×:深部低周波地震
- ・広域地震観測網による観測では、5月上旬(5月1日~8日)に火山活動に関連すると思われる地震の震 源が新潟焼山山体の西側に決定された。
- ・広域地震観測網による震源決定では、深さは全て海面以下として決定している。
- ・表示している震源には、震源決定時の計算誤差の大きなものが表示されることがある。
- ・震源分布図の円はカラサワ観測点を中心とした半径8kmの範囲を示している。

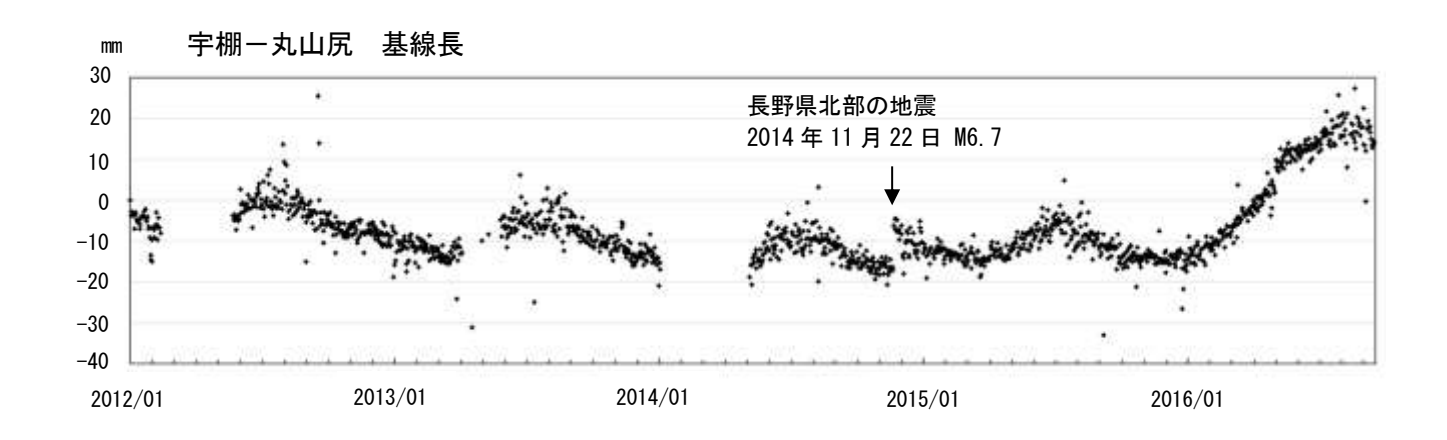
この地図の作成には、国土地理院発行の『数値地図 25000(行政界・海岸線)』を使用した。

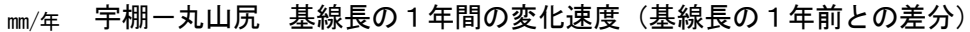


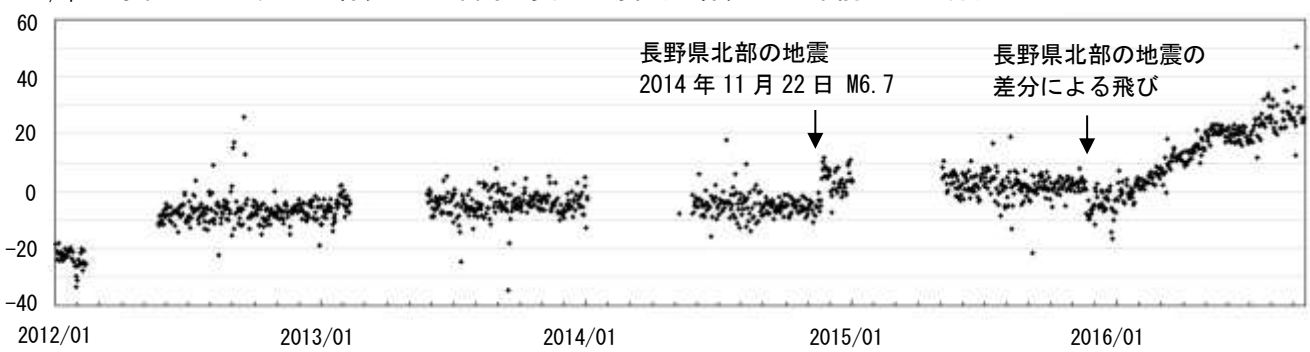


第 12 図 新潟焼山 GNSS 連続観測結果(2016年2月1日~6月18日)からの圧力源の推定 Fig. 12 Souse estimated from GNSS observation at Niigata-yakeyama from February 1, 2016 to June 18, 2016, . 上: Mogi モデル 下: Okada モデル

・Mogi モデルと Okada モデルで、推定された圧力源の水平位置には若干の違いがあるが、深さや体積変化量 はほぼ同じとなった。





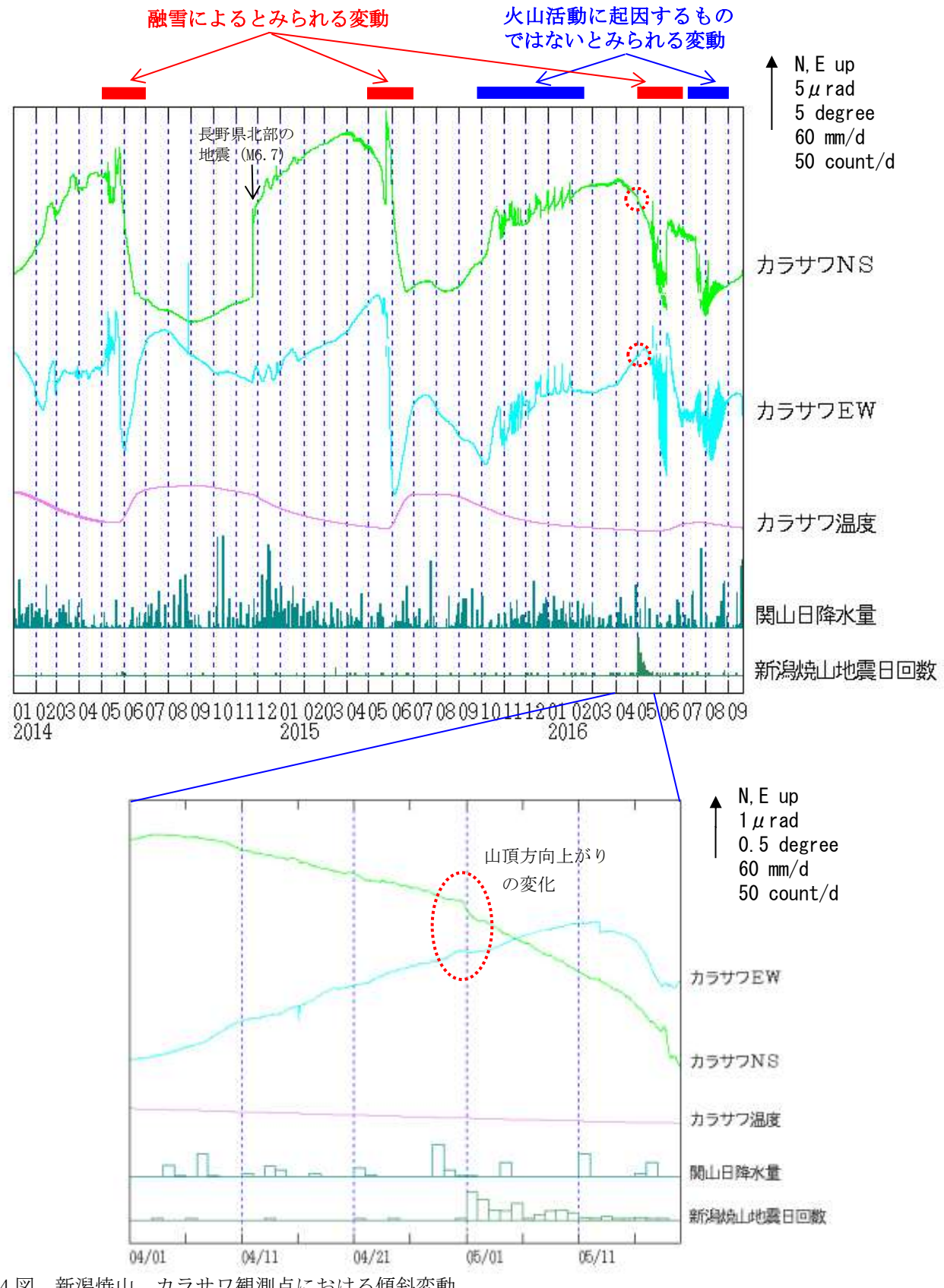


第13 図 新潟焼山 GNSS 連続観測結果 (2012年1月1日~2016年9月20日)

Fig. 13 GNSS continuous observation at Niigata-yakeyama from January 1, 2012 to September 20, 2016.

上:宇棚-丸山尻の基線長 下:基線長の1年間の変化速度 (mm/年)

- ・この GNSS 基線は第15図(観測点配置図)の③に対応している。
- ・下のグラフは基線長の1年前との差分を取ることで季節変動を除去している。
- ・季節変動を除去した基線長では、2016年1月頃からみられていた基線の伸びが、5月から7月頃にかけて 一時停滞したが、その後は再び緩やかな伸びがみられる。

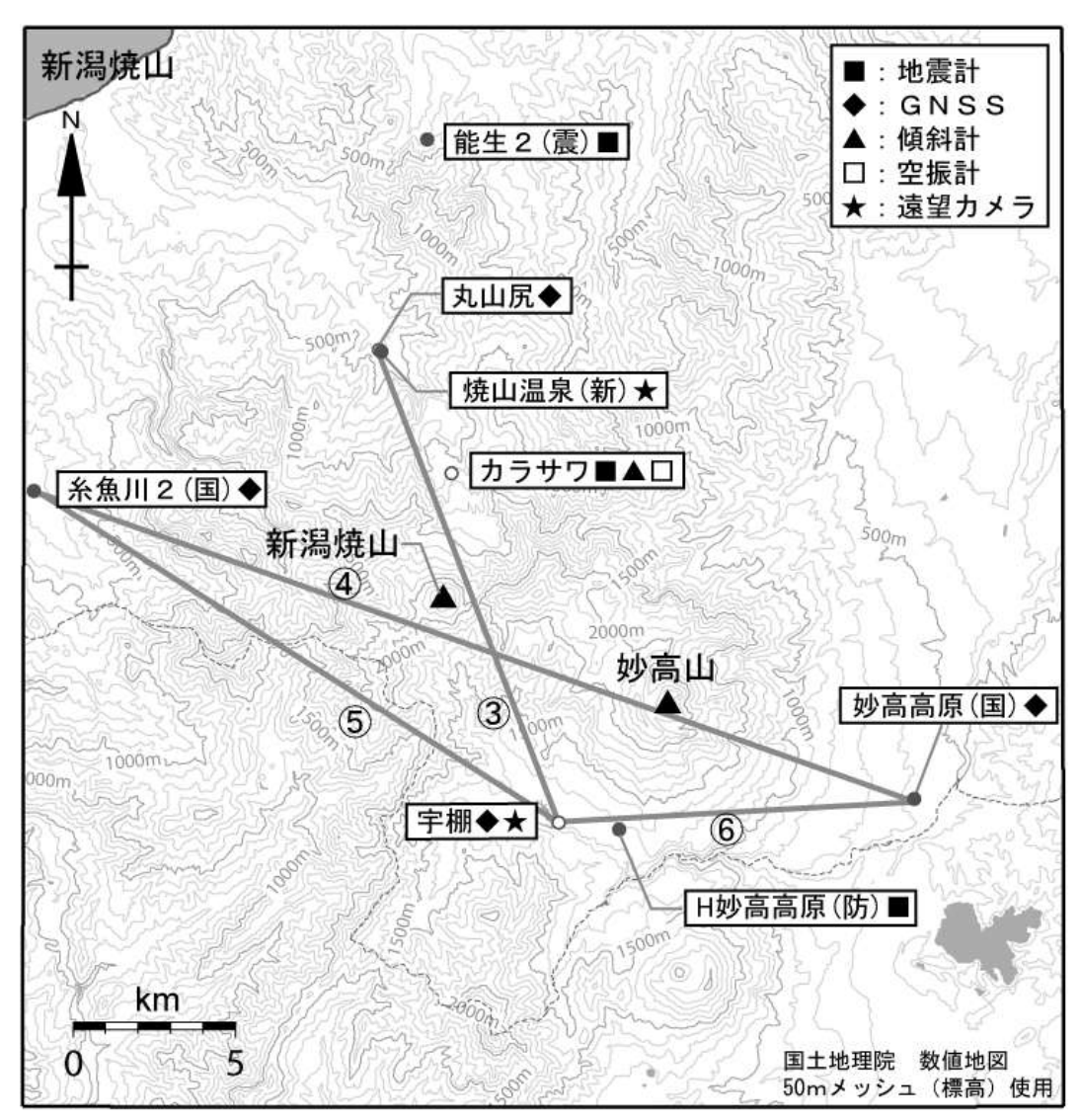


第14図 新潟焼山 カラサワ観測点における傾斜変動

(2014年1月1日~2016年9月20日、時間値、潮汐補正済み)

Fig. 14 Tilt observation at Karasawa station in Niigata-Yakeyama from January 1, 2014 to September 20, 2016.

- ・カラサワ観測点(山頂の北約4km)の傾斜計で、2016年5月1日からの地震の増加に先行して、4月30日 頃から5月2日頃にかけて山頂方向上がり(南上がり)の変化がみられた。(赤点線楕円部分)。
- ・2016年5月2日以降の変動は、毎年この時期に現れる融雪の影響によるとみられる変動。



小さな白丸(〇)は気象庁、小さな黒丸(●)は気象庁以外の機関の観測点位置を示しています。 (国):国土地理院、(防):防災科学技術研究所、(震):東京大学地震研究所、(新):新潟県

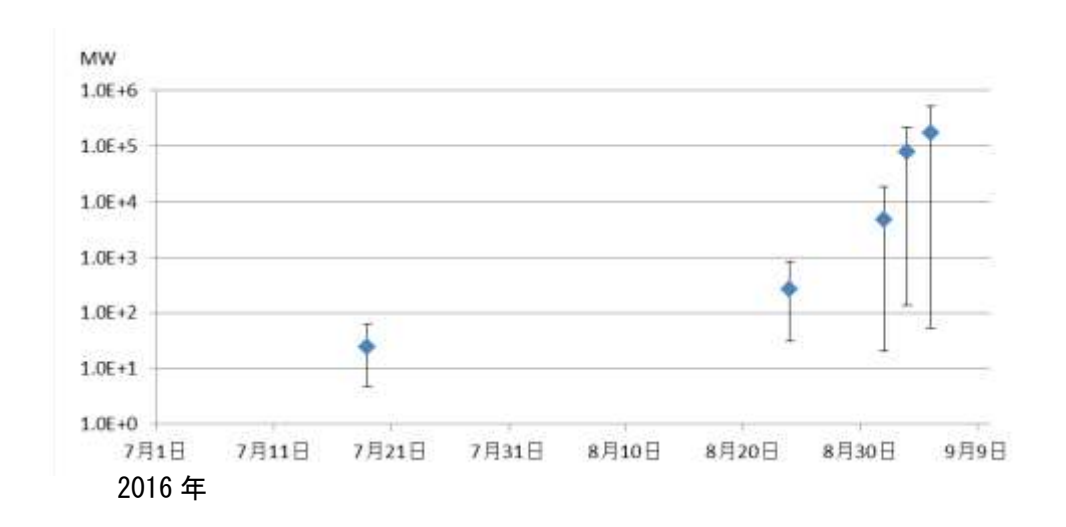
第15図 新潟焼山 観測点配置図

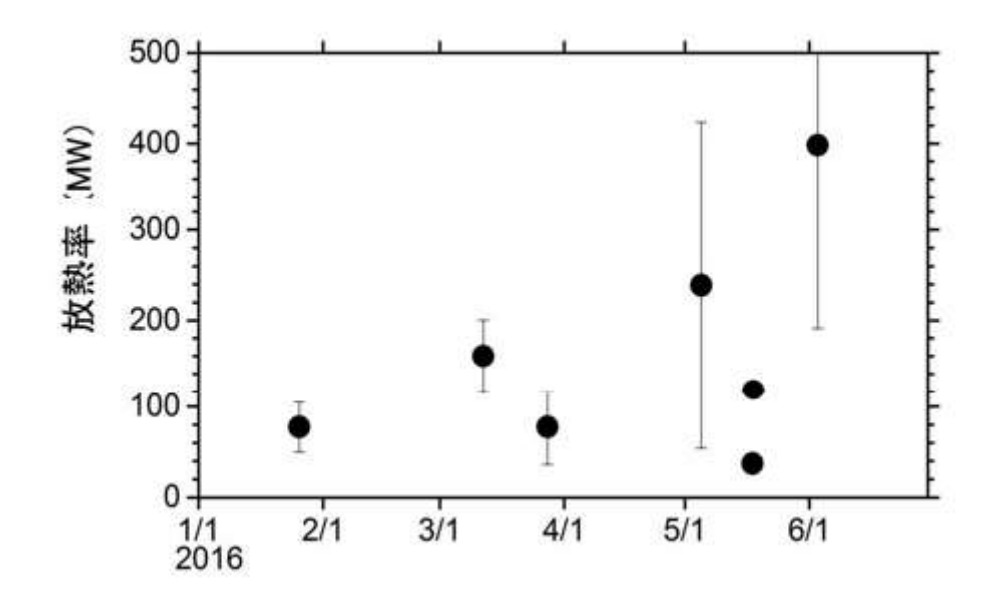
Fig. 15 Location map of observation sites in Niigata-Yakeyama.

小さな白丸(○)は気象庁、小さな黒丸(●)は気象庁以外の機関の観測点位置を示す。

(国): 国土地理院、(防): 防災科学技術研究所、(震): 東京大学地震研究所、(新): 新潟県 GNSS 基線③~⑥は図6の③~⑥にそれぞれ対応している。

この地図の作成には、国土地理院発行の『数値地図 25000 (行政界・海岸線)』および『数値地図 50mメッシュ (標高)』を使用した。





※第 135 回火山噴火予知連絡会 気象研究所資料より

第16図 新潟焼山 噴煙による放熱量の時間的推移

Fig. 16 Time variation of heat discharge estimated from plume of Niigata-yakeyama.

図上:2016年7月1日~9月5日、図下:2016年1月1日~6月3日

- ・天候や風向、噴煙の上昇の状況など計測の条件の良いものを解析
- ・解析誤差が大きく傾向は判断できないが、放熱量の多い状態は継続しているものとみられる。